

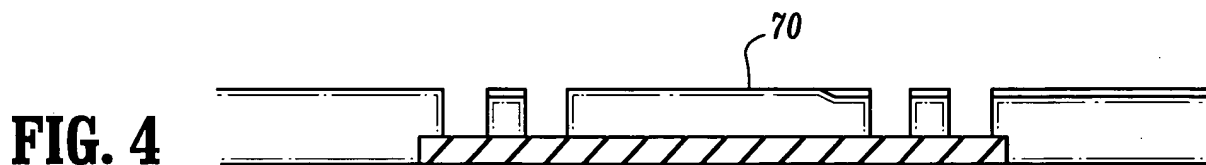
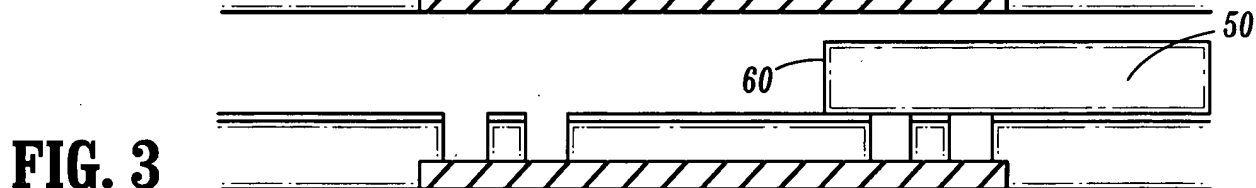
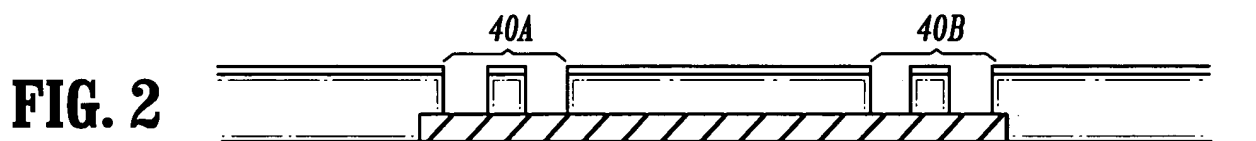
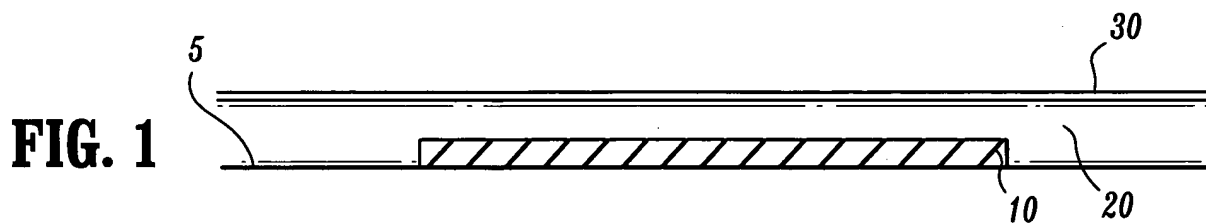


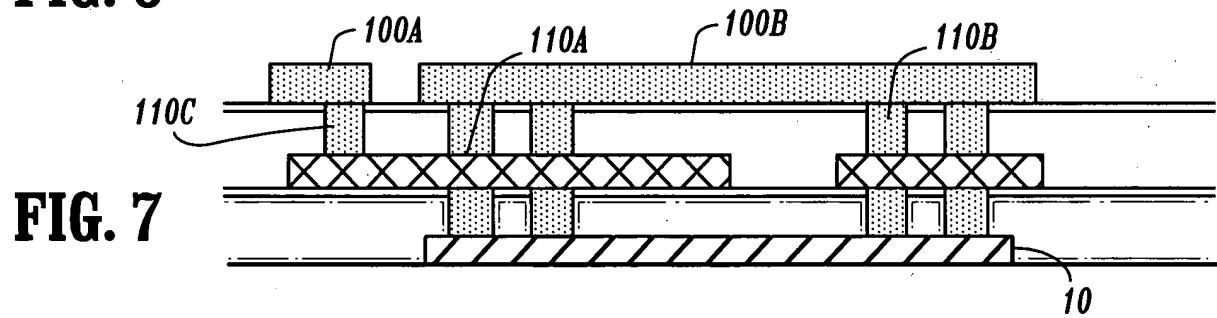
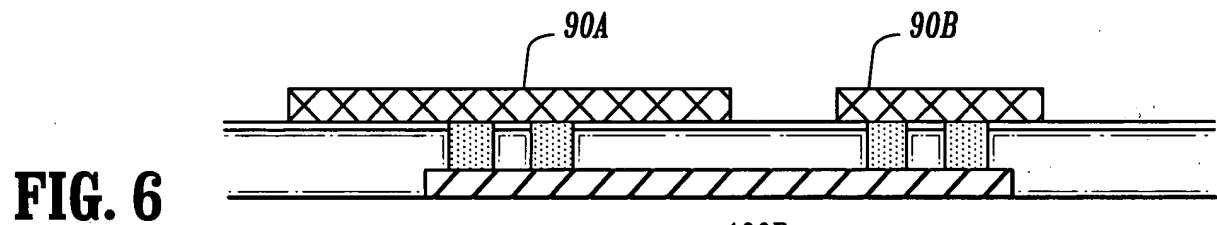
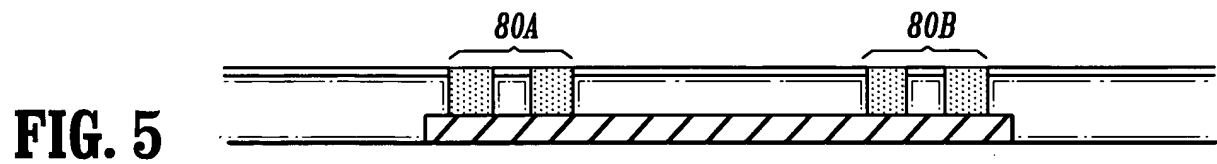
10/643,307

1/9

Hsu et al.

YOR920030075US1 (LJP) (8728-613)





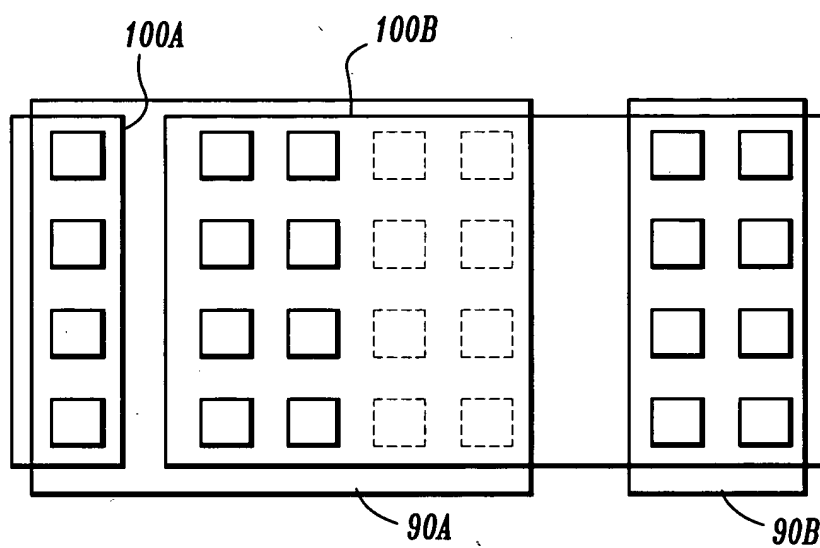
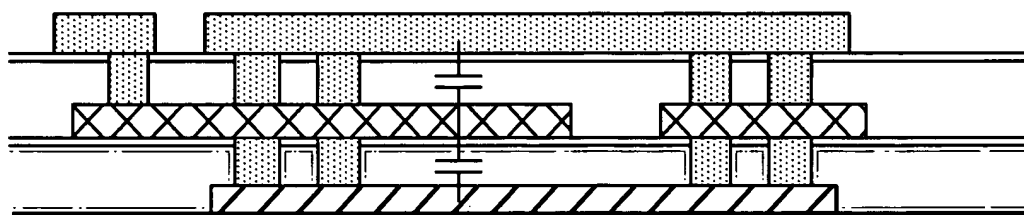
**FIG. 7A****FIG. 7B**

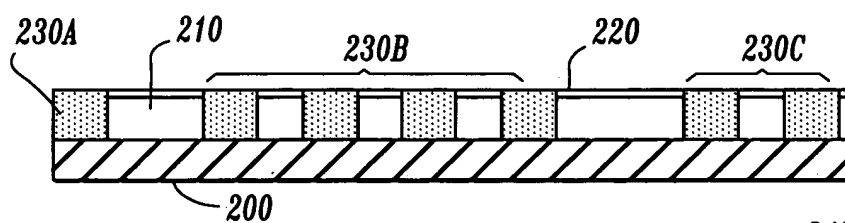
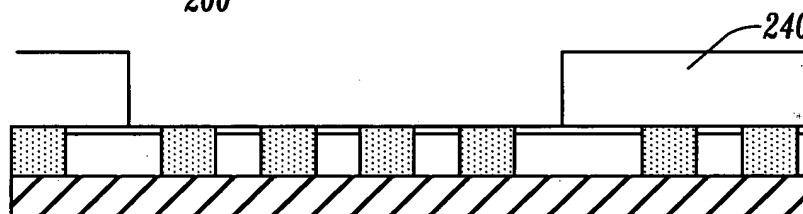
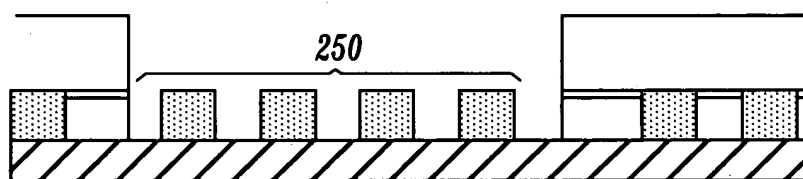
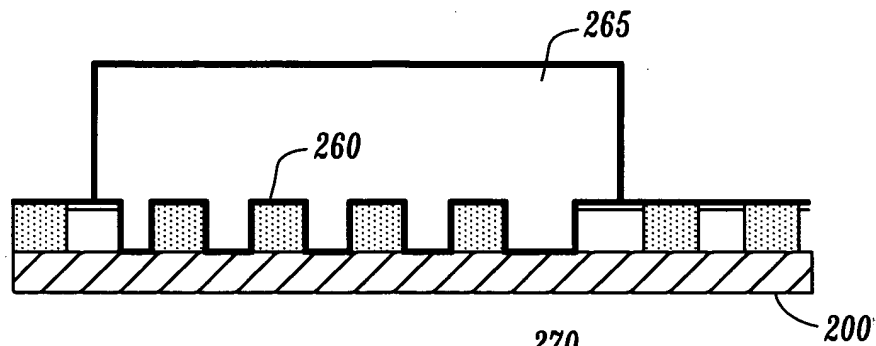
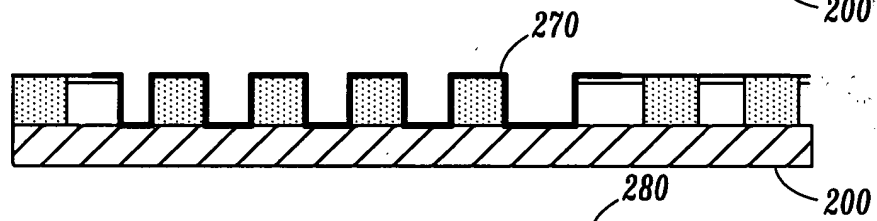
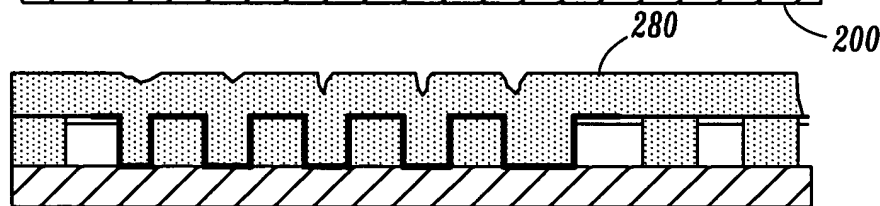
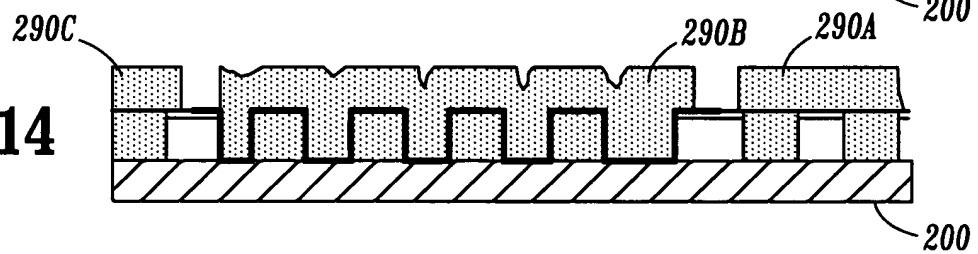
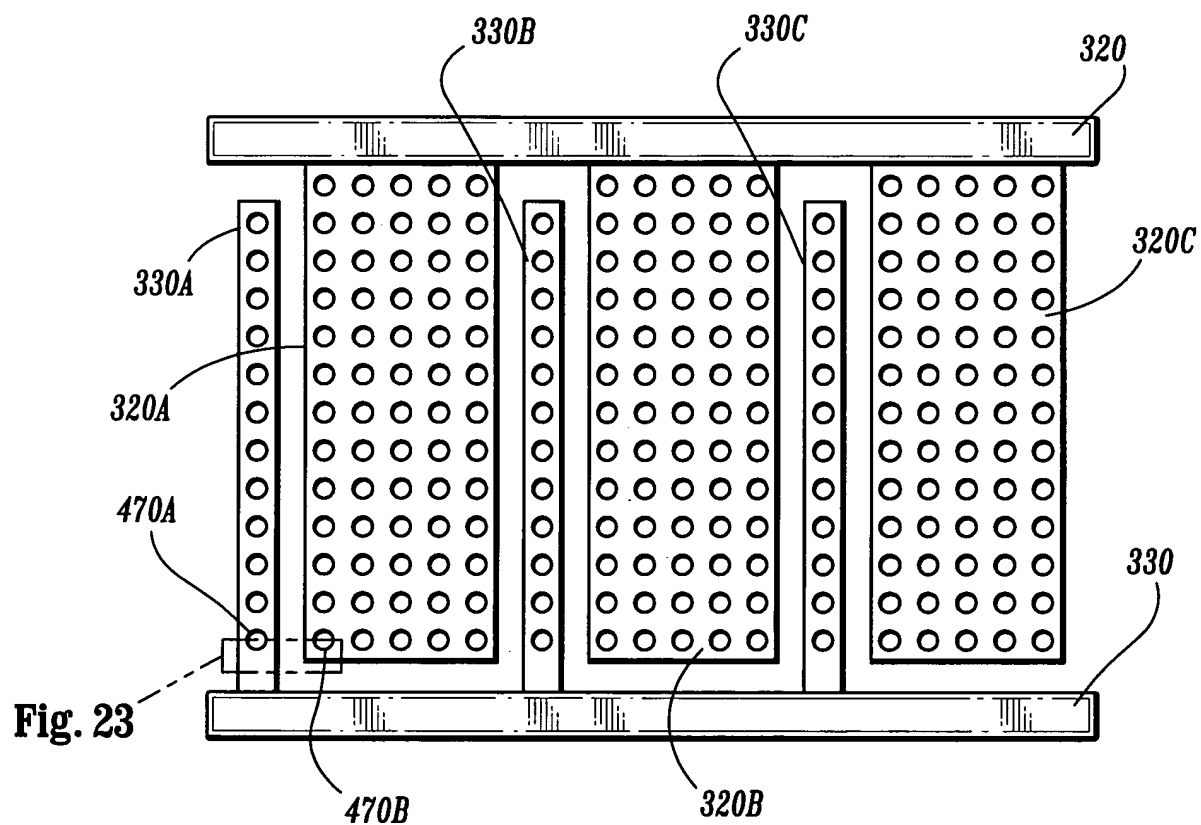
FIG. 8**FIG. 9****FIG. 10**

FIG. 11**FIG. 12****FIG. 13****FIG. 14**

**FIG. 15**

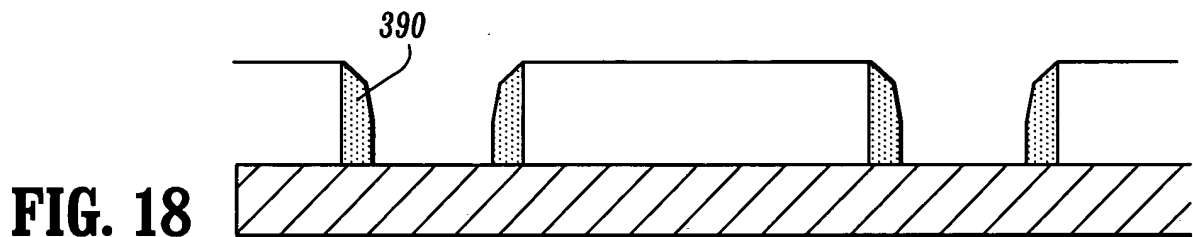
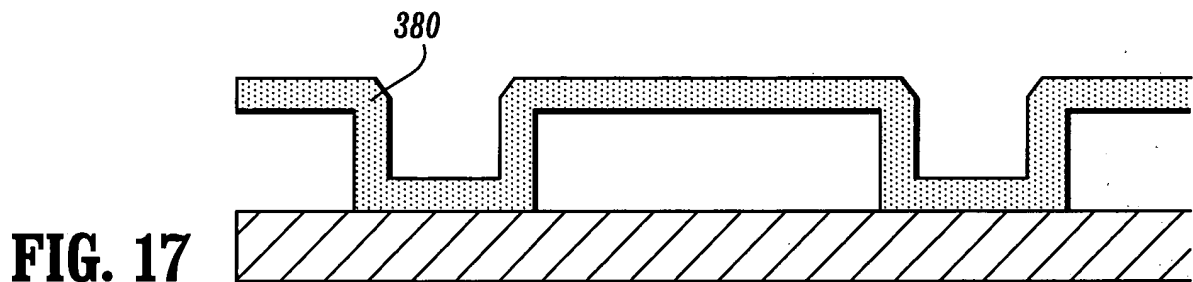
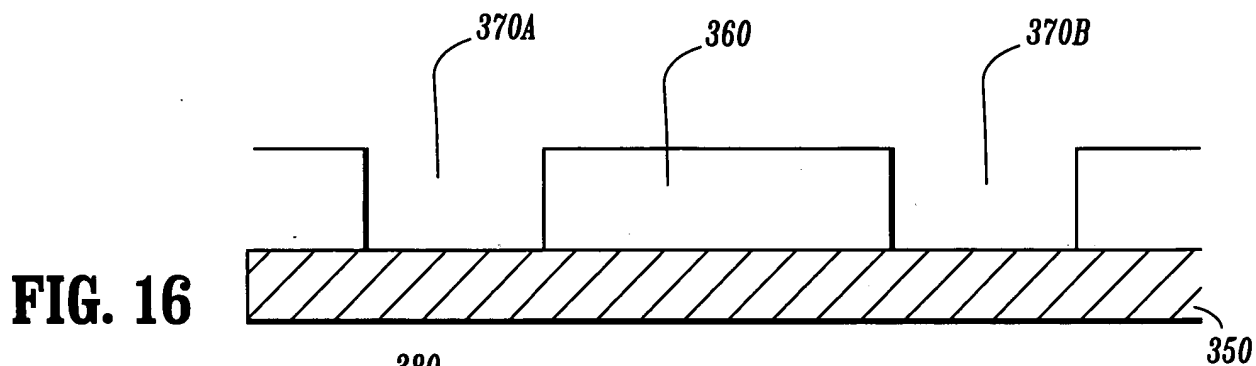


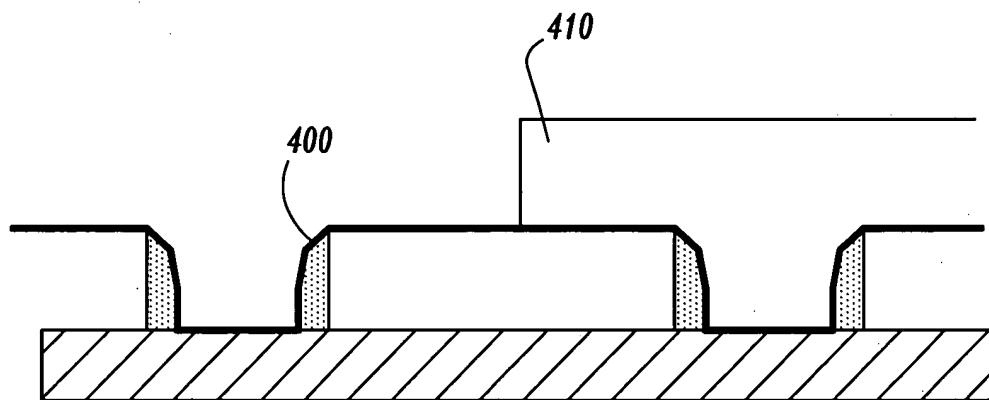
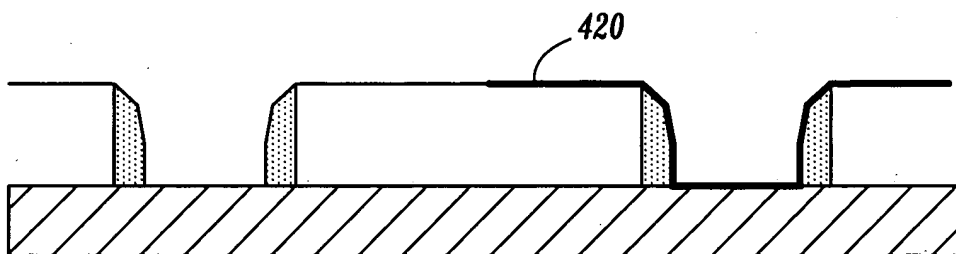
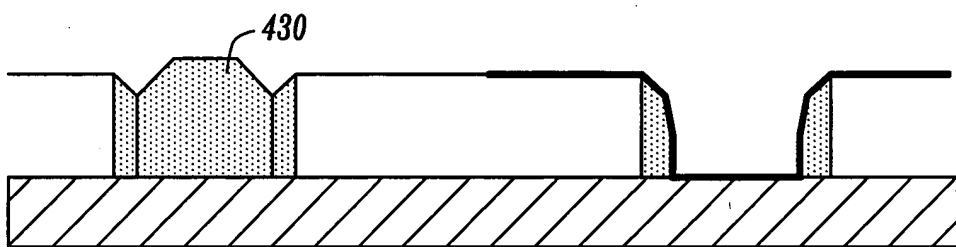
FIG. 19**FIG. 20****FIG. 21**

FIG. 22

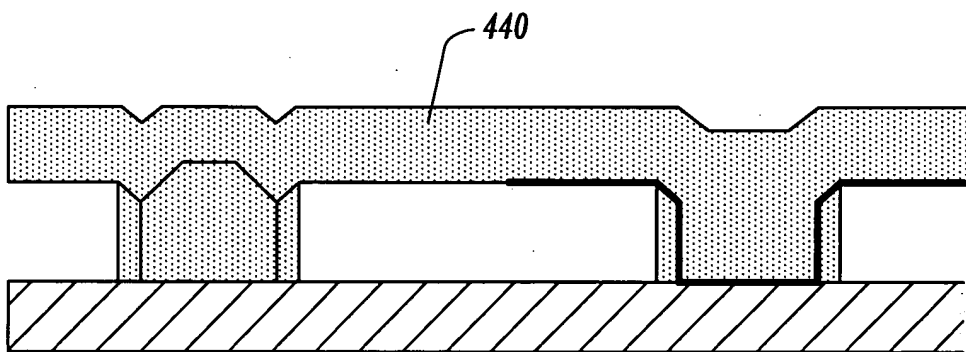


FIG. 23

